Quelles perspectives pour le tolérancement 3d en 2030 ?

ANF « MECA 2030 »

1/10/2025

Denis Teissandier





Quelles perspectives pour le tolérancement 3d en 2030 ?

Quelques points de repère historiques

Verrous levés et Verrous à lever

Conclusions, perspectives au-delà 2030?

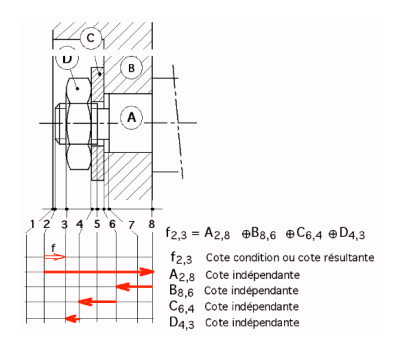
Canons toujours exposés à Moscou.

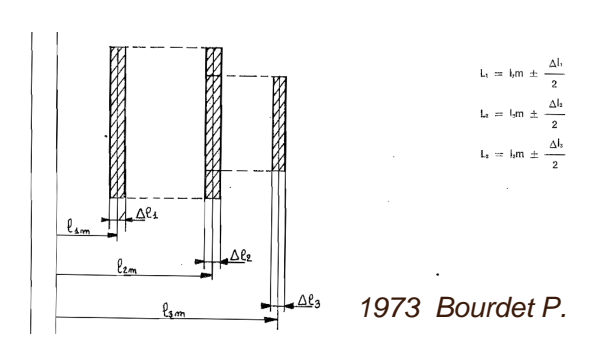
1812 Campagne napoléonienne de Russie Problématique de l'interchangeabilité.

1926 Premier système unifié de tolérances et d'ajustements ISA (International Federation of the National Standardizing Associations)

1950 Première publication par l'ISO d'une norme sur les chaînes de cotes 1d

1973 Bourdet, P., Chaînes de cotes de fabrication. L'Ingénieur et le Technicien de l'Enseignement Technique, 191.





Documents en ligne sur le site du LURPA de l'ENS Paris Saclay.

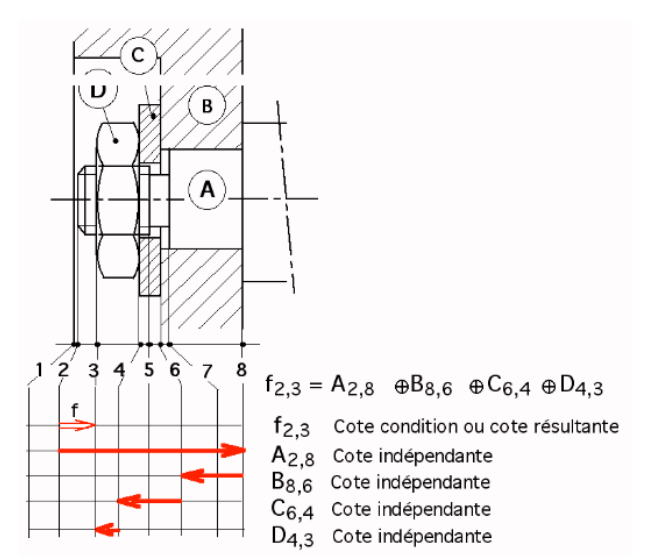
1970 ...

Cotation « bureau d'études »

Condition Fonctionnelle CF:

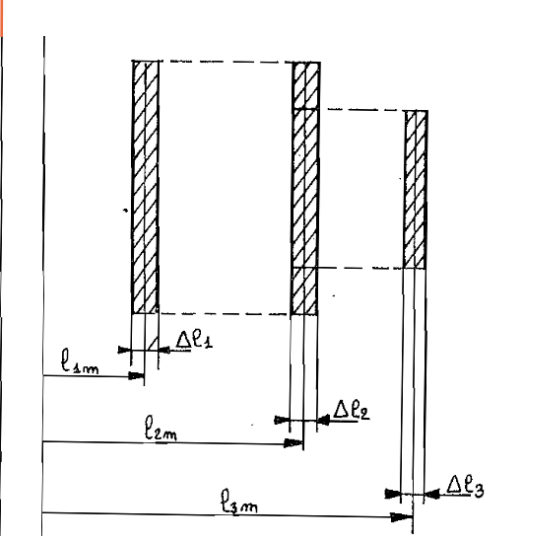
$$d_{mini} \le d \le d_{max}$$

CF est répartie sur des cotes « BE » de pièces constitutives.



<u>Cotation « bureau des méthodes » ou cotation de fabrication</u>

Les cotes « BE » d'une pièce sont réparties dans des cotes de fabrication des différentes phases d'une gamme d'usinage.



$$L_1 = l_1 m \pm \frac{\Delta l_1}{2}$$

$$L_2 = l_2 m \pm \frac{\Delta l_2}{2}$$

$$L_3 = l_3 m \pm \frac{\Delta l_3}{2}$$

sitè du LURPA de l'ENS Paris Saclay.

1970 ...

Cotation « bureau d'études »

Cotation « bureau des méthodes » ou cotation de fabrication

Un constat : ces méthodes de maîtrise de variations géométriques unidirectionnelles sont TRES utilisées en 2025 !

D'un point de vue métrologie, de nombreux instruments existent pour mesurer des dimensions.















Mesures d'écarts sur des profils de révolution.

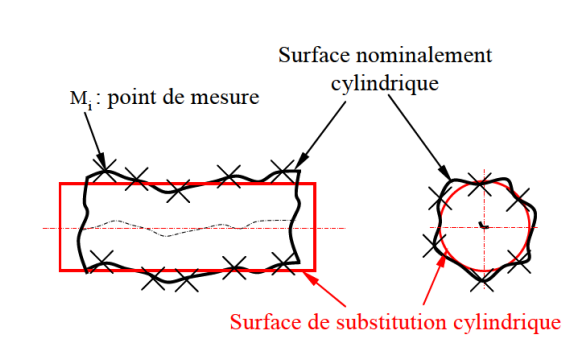
1969 Moteur Olympus 593 (Concorde) Rolls – Royce / Snecma.

Premières mesures par coordonnées sur les profils des tuyères : début de la métrologie tridimensionnelle.

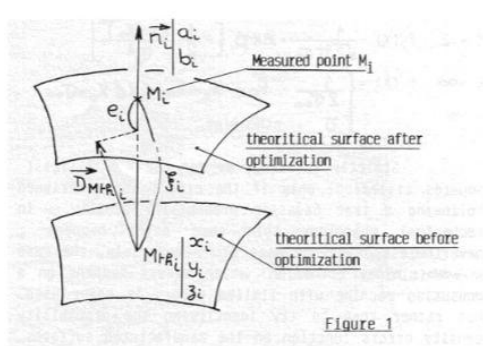




1988 Clément, A. & Bourdet, P., Torseur de petits déplacements, Annals of the CIRP, 37(1).



$$e_i = \xi_i - \begin{bmatrix} \rightarrow & \rightarrow \\ D_{Mthi} & n_i \end{bmatrix}$$



Mesure de points de mesures, quantification des écarts de forme, d'orientation et de position.

1969 Moteur Olympus 593 (Concorde) Rolls – Royce / Snecma.

Premières mesures par coordonnées sur les profils des tuyères : début de la métrologie tridimensionnelle.





1980 ...



2000 ...

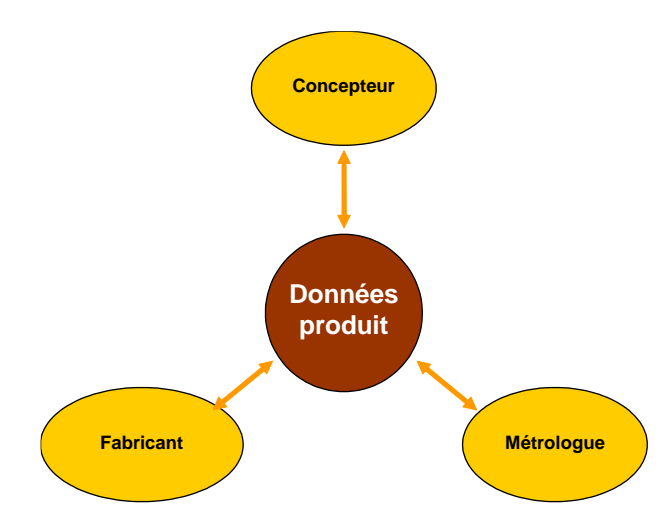


1990 ...



Dysfonctionnements dus:

- -à une mauvaise connaissance du langage,
- -à des lacunes et incohérences des normes.

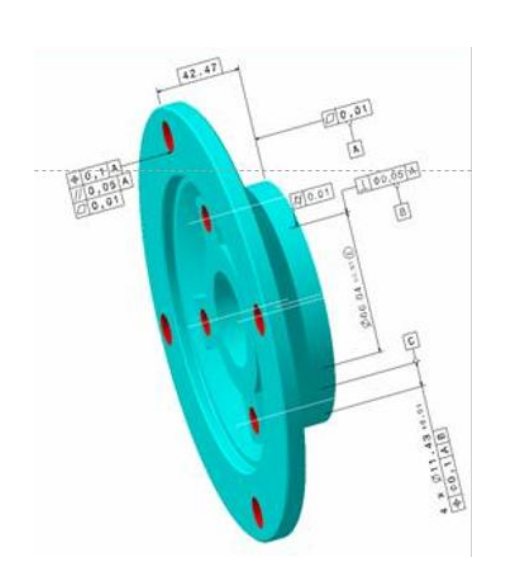


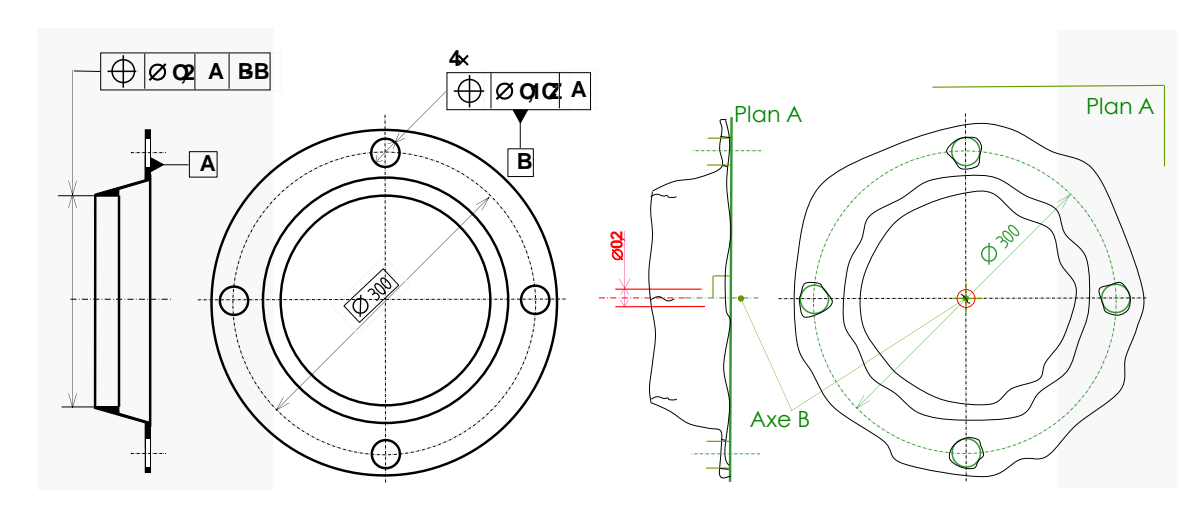
Nécessité d'avoir un langage international et univoque.

1990 ...

1994 Catia V4: Functional Dimensionning and Tolerancing

Skin modèle (A. Ballu, L. Matthieu)





La chaîne numérique devient possible.

1990 ...2025 ... 2030...



L'entreprise est une entreprise étendue.

A gap between Dreamliner sections

During assembly of the first 787 Dreamliner in Everett, the join between the nose-and-cockpit section and the section behind it was initially an imperfect fit.

2

A gap as large as 0.3 inch occurs in this area of the join. COMPANIES BUILDING THE SECTIONS:

- 1 Spirit: Nose and cockpit section
- Kawasaki: Fuselage section

1989 1ère conférence CIRP on Computer Aided Tolerancing



1991 première version de MECAmaster

1992 MECAmaster - application d'Euclid IS.

1993...: tolérancement 3d, chaînes de cotes 3d, métrologie 3d

2010 : Jumeaux numériques

2011: Industrie 4.0, Smart Machining

Quel modèle géométrique : vers une simulation de plus en plus réaliste des contacts.

Loi de comportement géométrique : prise en compte des architectures isostatiques ou hyperstatiques ?

Loi de comportement mécanique

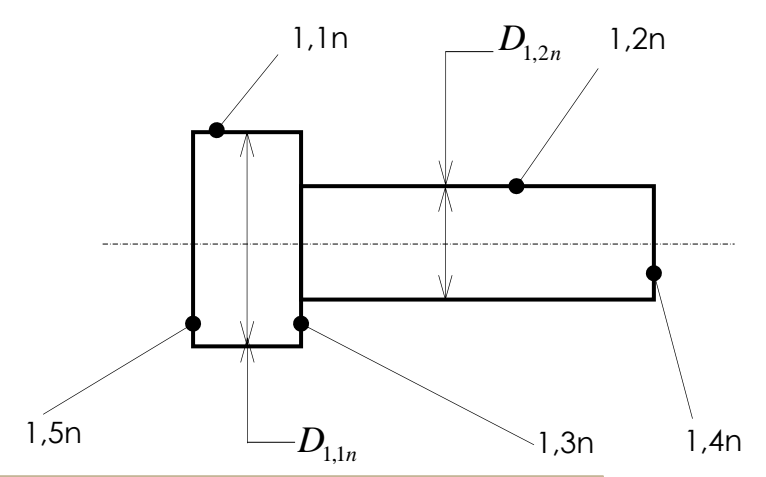
Analyse de tolérances, synthèse de tolérances, allocation de tolérances

Hypothèses physiques émises en tolérancement 3d :

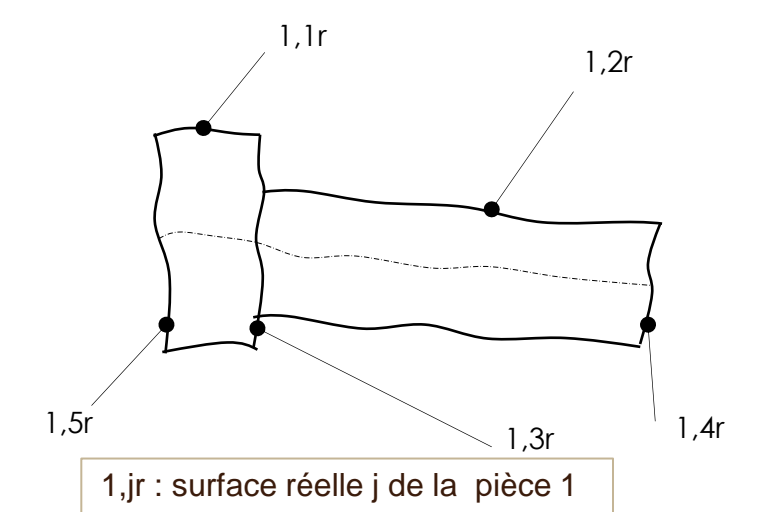
- pas de défaut de forme des surfaces,
- pas de déformation locale entre des surface en contact,
- pas de déformation des pièces (solides rigides).

Modèles pour la simulation des écarts géométriques

Modèle nominal et "skin" modèle



1,jn : surface nominale j de la pièce 1

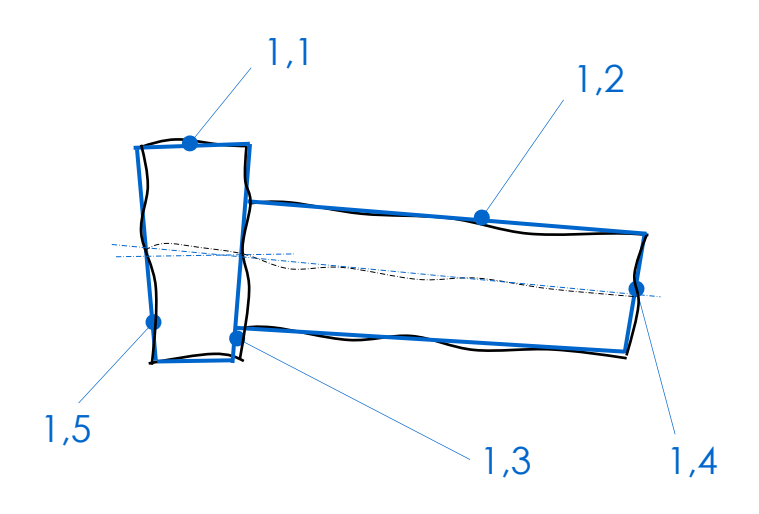


Surface de substitution :

Surface idéale de même type que la surface nominale dont elle caractérise une réalisation physique particulière.

Exemple:

Une surface nominalement cylindrique est modélisée par une surface de substitution cylindrique.



1,j: surface de substitution j de la pièce 1

Ecarts géométriques d'une pièce

- Ecarts de situation
- Ecarts de dimension

Ecarts de situation :

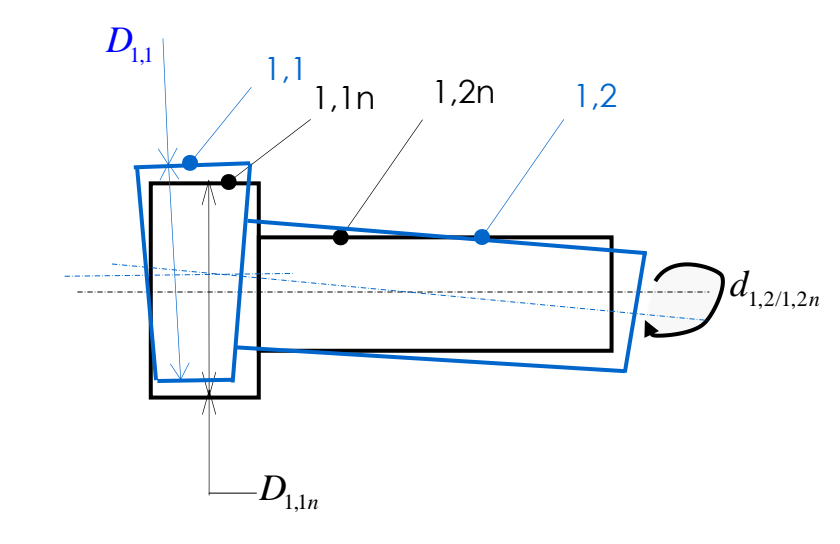
Définissent la position des éléments de situation d'une surface de substitution par rapport aux éléments de situation de la surface nominale correspondante utilisée comme référence.

Exemple: $d_{1,2/1,2n}$

Ecart de dimension:

différence entre le diamètre d'une surface de substitution $D_{1,1}$, et le diamètre d'une surface nominale $D_{1,1n}$

Exemple: $d_{1,1} = D_{1,1} - D_{1,1n}$



Quel modèle mathématique pour la simulation des écarts de situation ?

Linéarisation des déplacements en petits déplacements

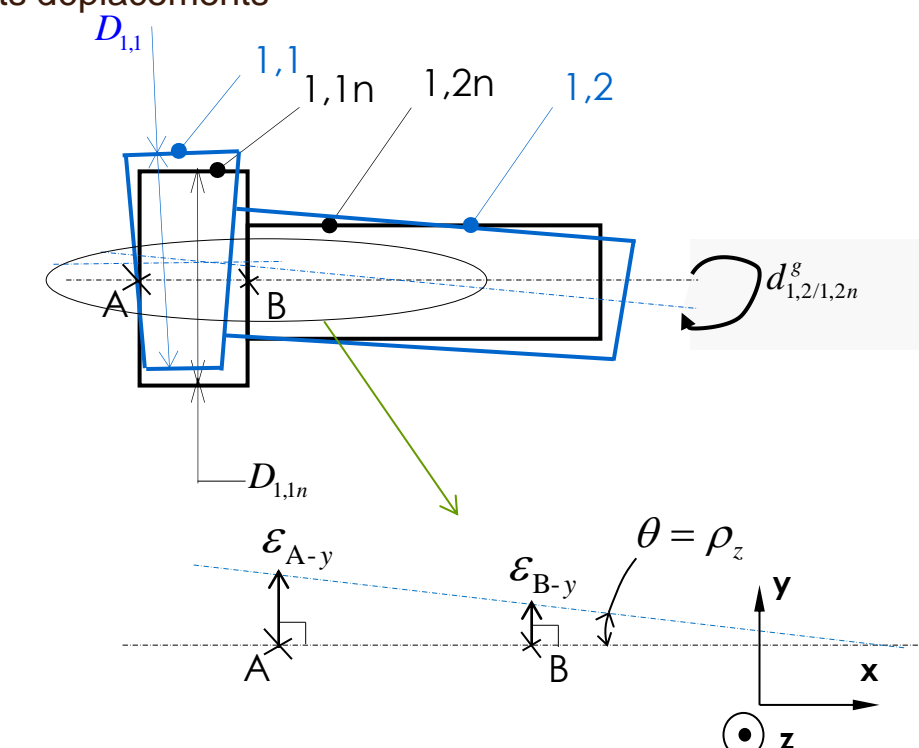
$$\begin{bmatrix} d_{1,2/1,2n} \end{bmatrix} = \begin{bmatrix} \mathbf{r}_{1,2/1,2n} \\ \mathbf{t}_{ ext{B-1},2/1,2n} \end{bmatrix}$$

 $\mid d_{1,2/1,2n} \mid$ torseur de petits déplacements

 $\mathbf{r}_{1,2/1,2n}$ vecteur rotation

 $\mathbf{t}_{\text{B-1},2/1,2n}$ vecteur translation exprimé au point B

$$\begin{bmatrix} oldsymbol{r}_{1,2/1,2n} & oldsymbol{
ho}_{x} & oldsymbol{t}_{B-1,2/1,2n} & oldsymbol{arepsilon}_{B-y} & oldsymbol{arepsilon}_{B-y} & oldsymbol{dans} \left(\mathbf{x}, \mathbf{y}, \mathbf{z}
ight) & oldsymbol{arepsilon}_{B-z} \end{bmatrix}$$



Quel modèle mathématique pour la simulation des écarts de situation ?

Linéarisation des déplacements en petits déplacements

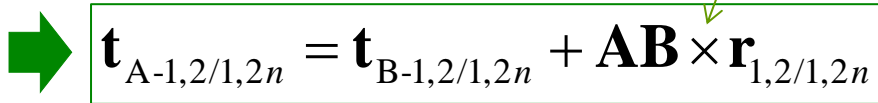
$$\begin{bmatrix} d_{1,2/1,2n} \end{bmatrix} = \begin{bmatrix} \mathbf{r}_{1,2/1,2n} \\ \mathbf{t}_{B-1,2/1,2n} \end{bmatrix}$$

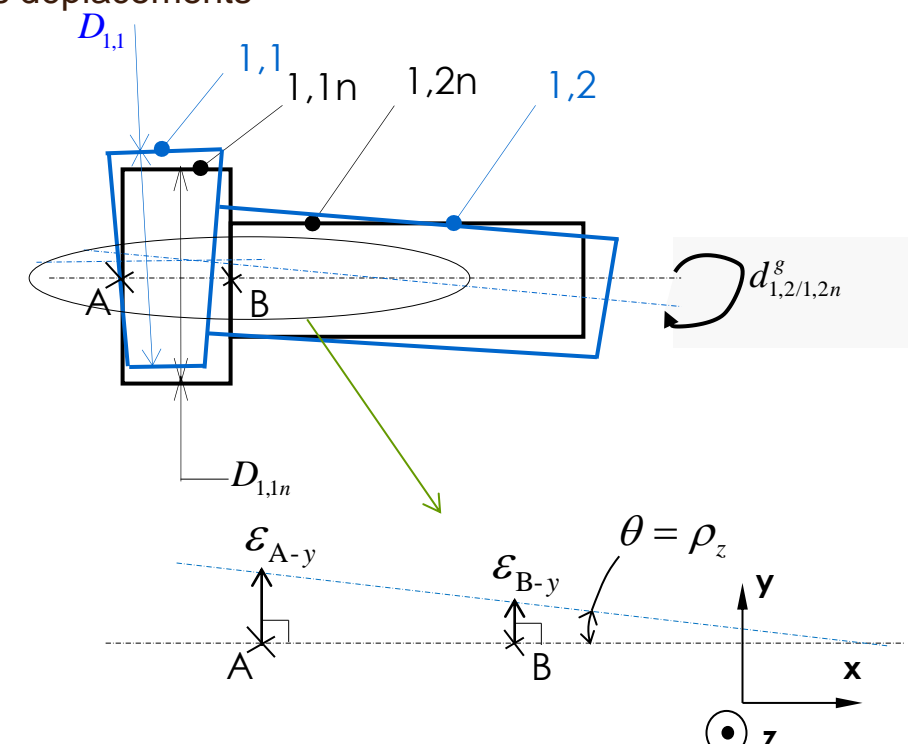
 $d_{1,2/1,2n}$ torseur de petits déplacements

$$\varepsilon_{A-y} = \varepsilon_{B-y} + AB.\theta$$
 avec $\tan(\theta) = \theta$

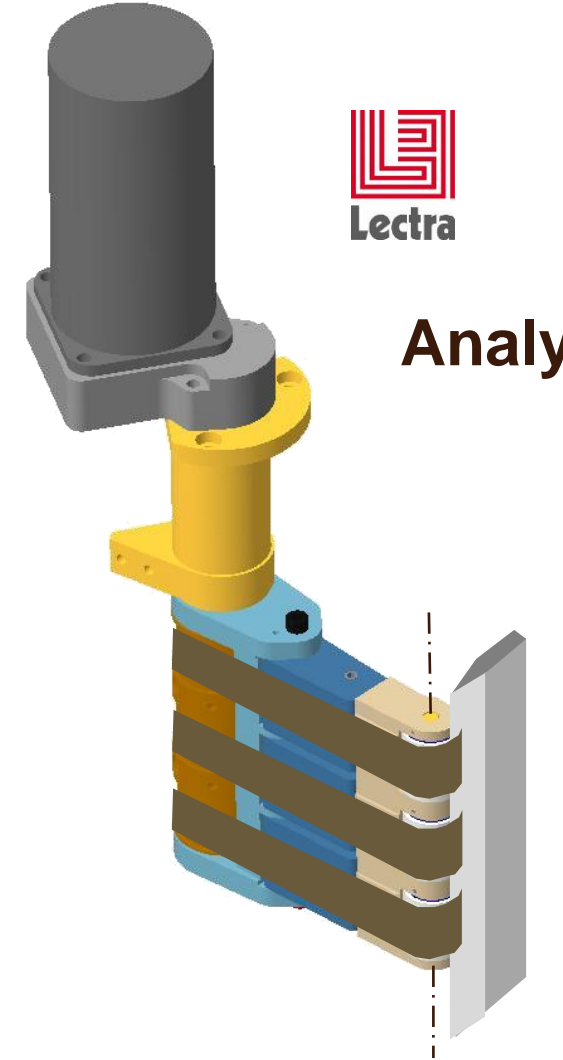
Produit vectoriel

Champ de petits déplacements





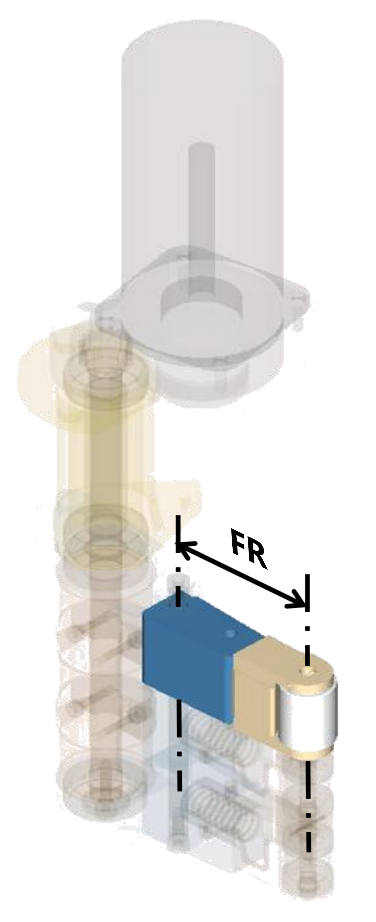
Exemple



Système d'affutage d'une machine de découpe

Analyse de tolérances 3d

Exemple



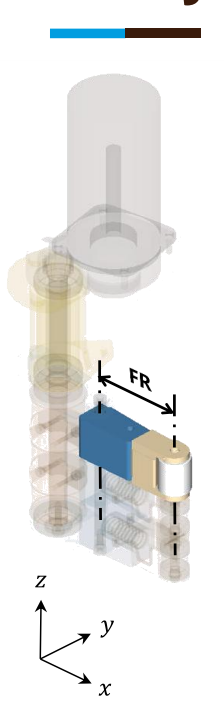


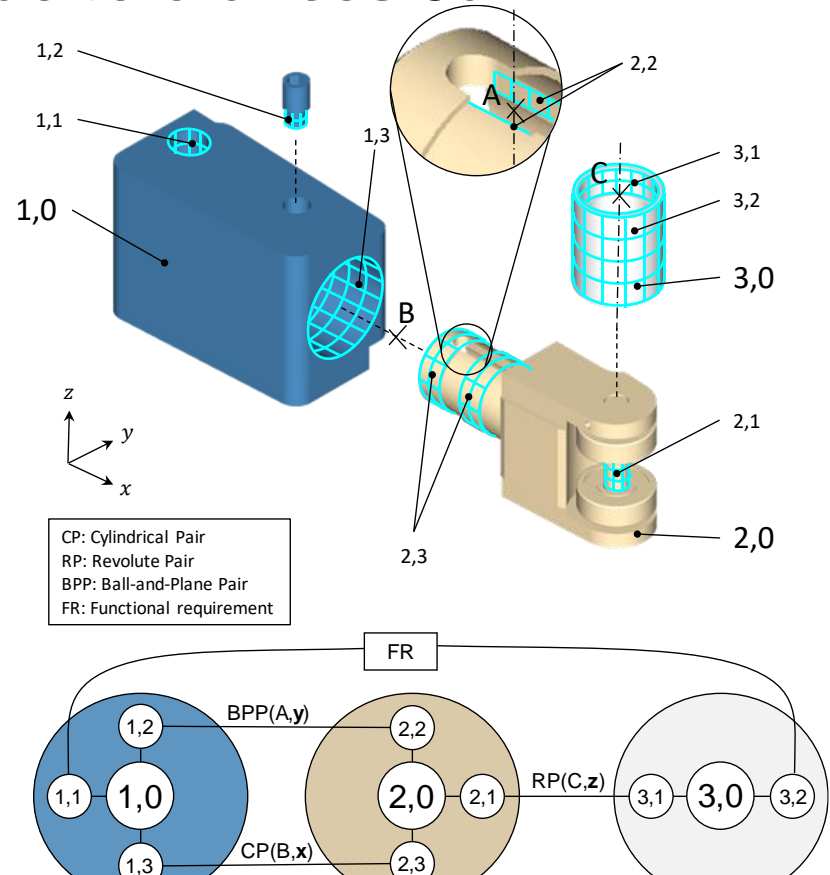
Système d'affutage d'une machine de découpe

Analyse de tolérances 3d

Condition Fonctionnelle

Analyse de tolérances 3d

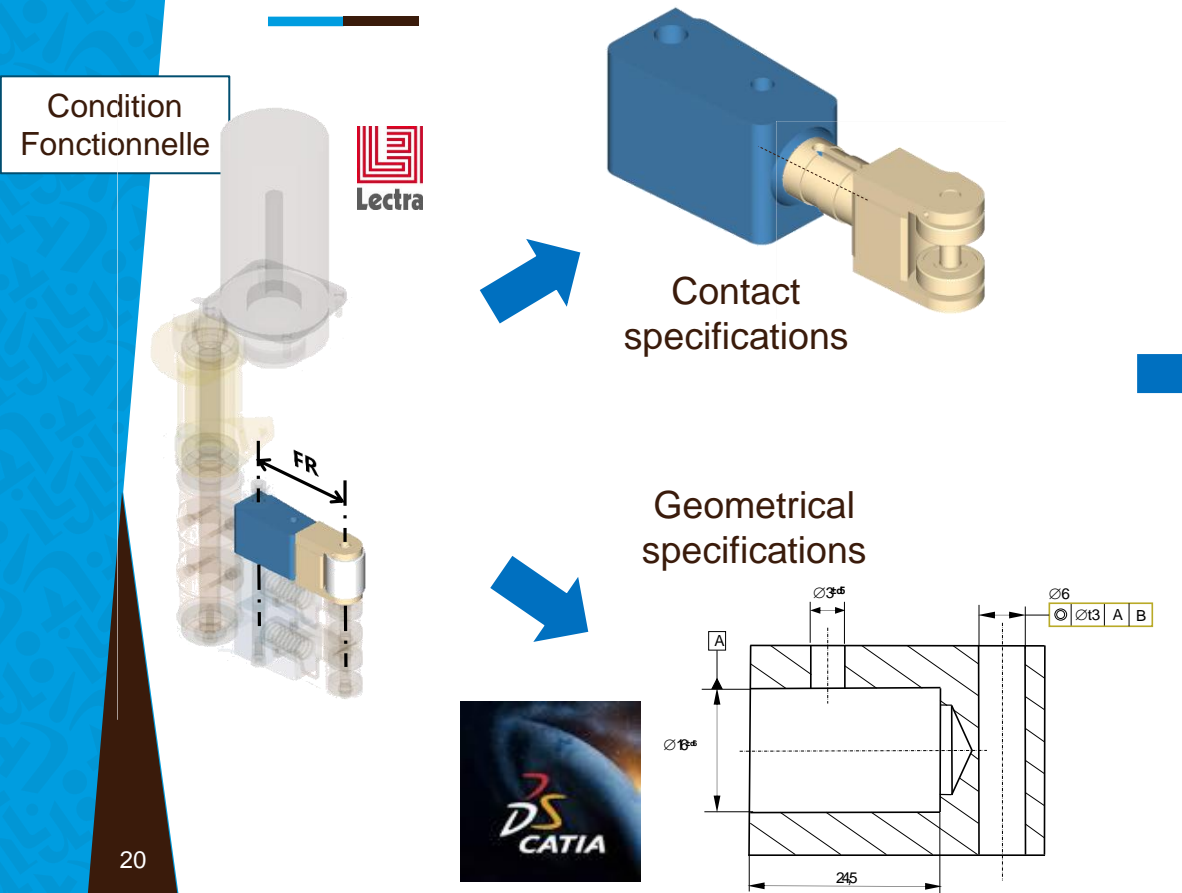


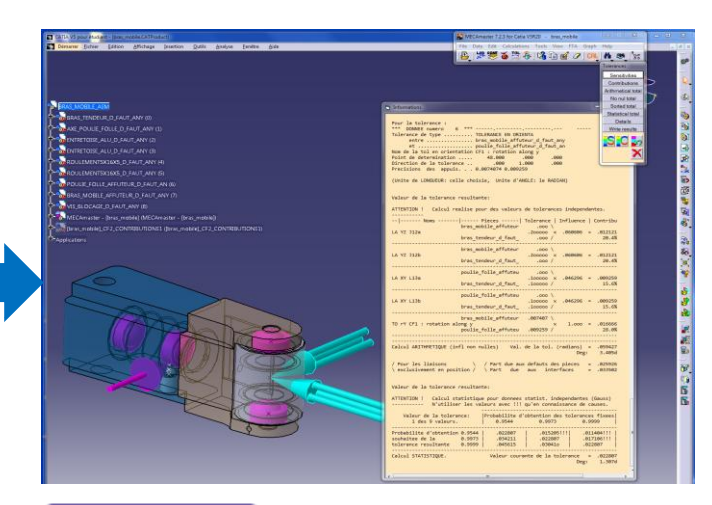


Pièces, sousensembles, liaisons

Graphe

Analyse de tolérances 3d





MECA master

Pas de défaut de forme des surfaces, Pas de déformation locale dans les contacts, Pas de déformation des pièces (solides rigides).

Architectures isostatiques.

Analyse de tolérances 3d en 2025







SIEMENS (VSA)

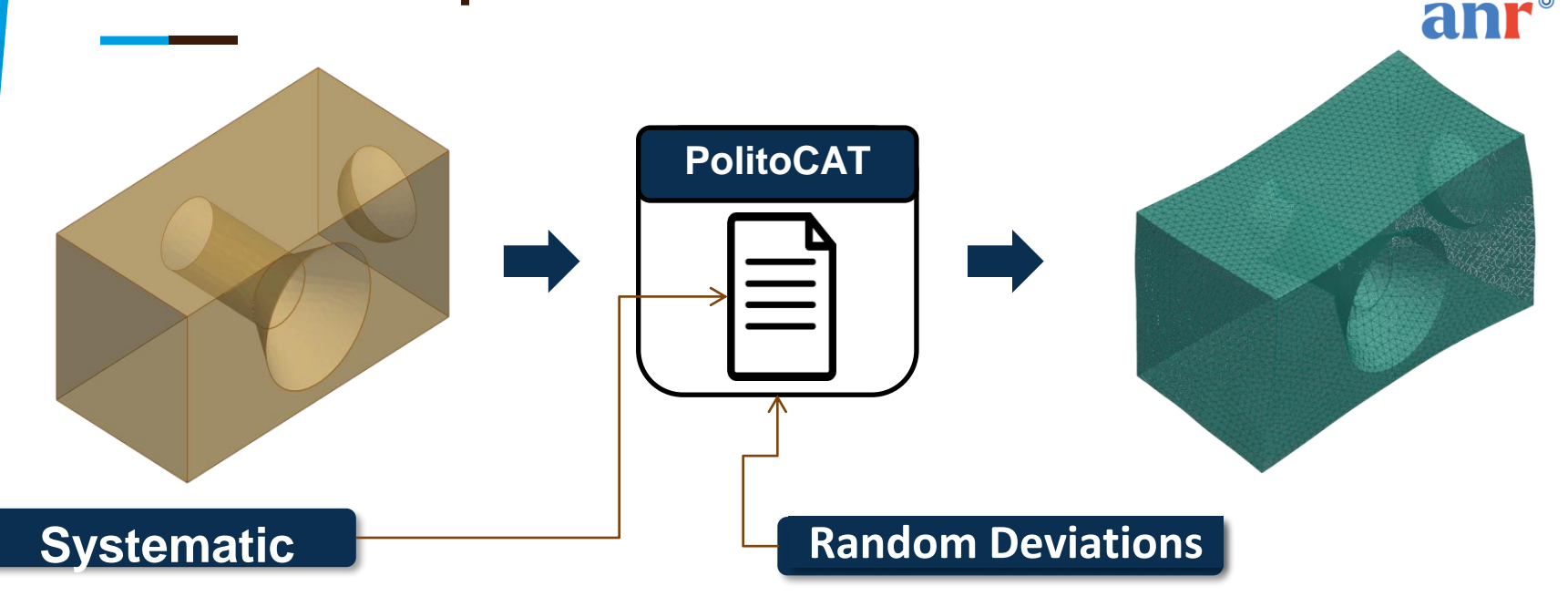


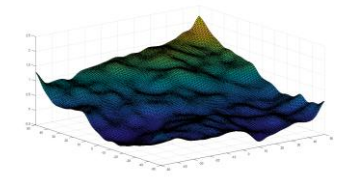




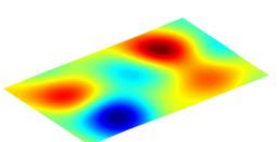
Prise en compte des défauts de forme

AToPAd Project



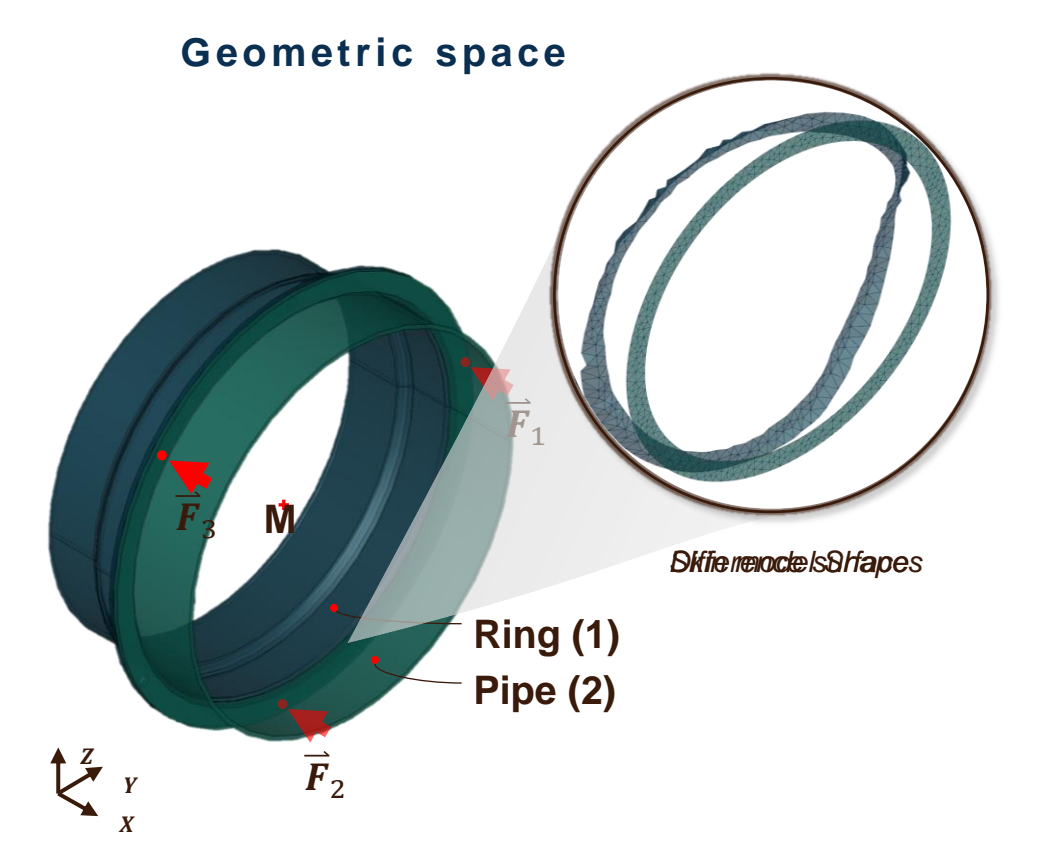


Modal Decomposition: vibration modes



Gaussian Random Fields 1-D Gaussian

AToPAd Project



Objective



 Applied the enriched definition of prismatic polyhedron in a contact between non-ideal feature

$$\Gamma = P \oplus \sum_{i} \Delta_{i}$$

$$P = Min[(\cap \overline{H}_{i}^{+}) \cap \overline{H}_{F}^{+}]_{vol}$$

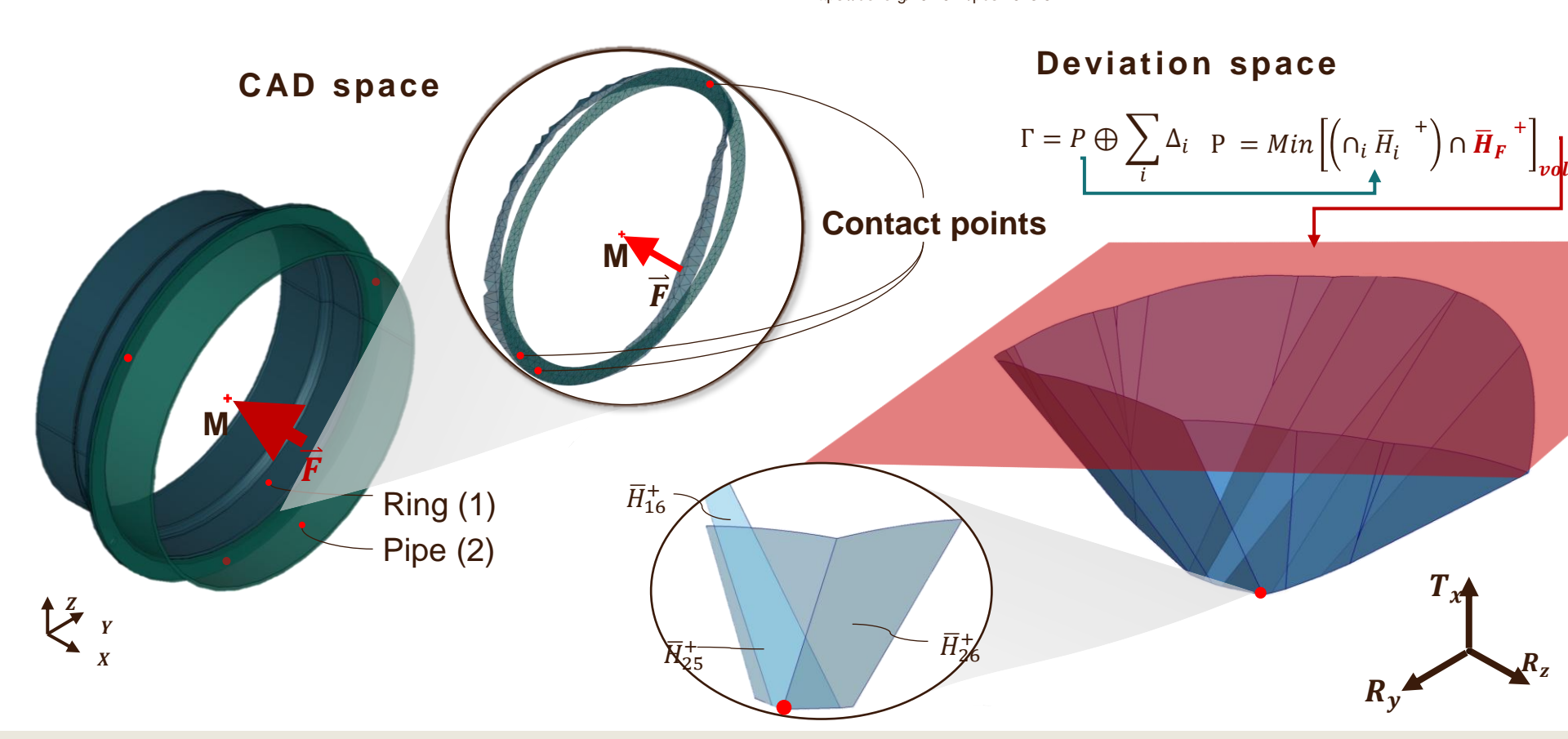
Deviation modeling

Systematic Random

Modal- Gaussian random fields

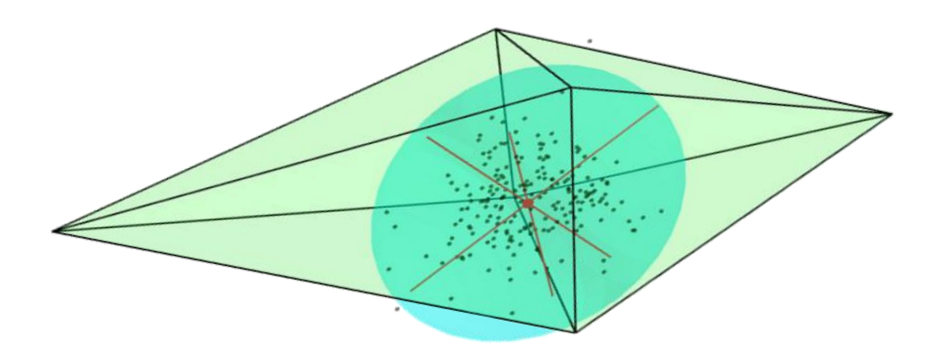
Case study: ring

Restrepo Garcia, C. A., Teissandier, D., Anwer, N., Ledoux, Y., Delos, V., Pierre, L., & Garcia Gomez, S. C. (2023). an Approach for the Inclusion of Loading Conditions in a Polyhedral-Based Method for Early Variation Management. Proceedings of the Design Society, 3(JULY), 515–524. https://doi.org/10.1017/pds.2023.52



Jumeau numérique Industrie 4,0 Tolérancement de fabrication

Conception et Fabrication Paramétrées

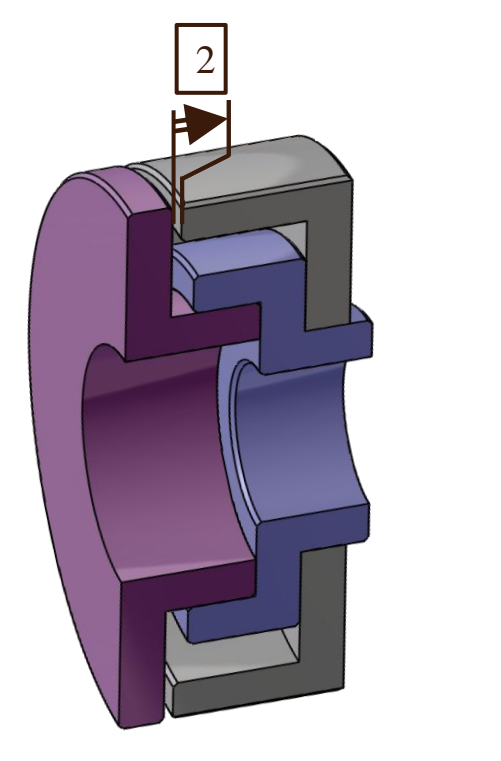


Alexandre PRÉVOT

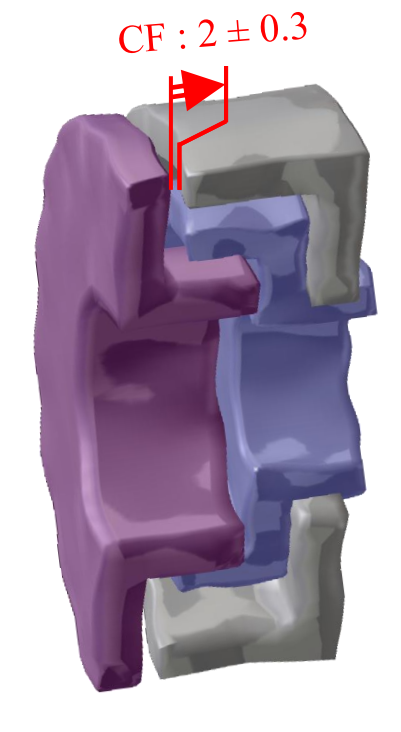




0.1 - Conception et Fabrication « Classiques »

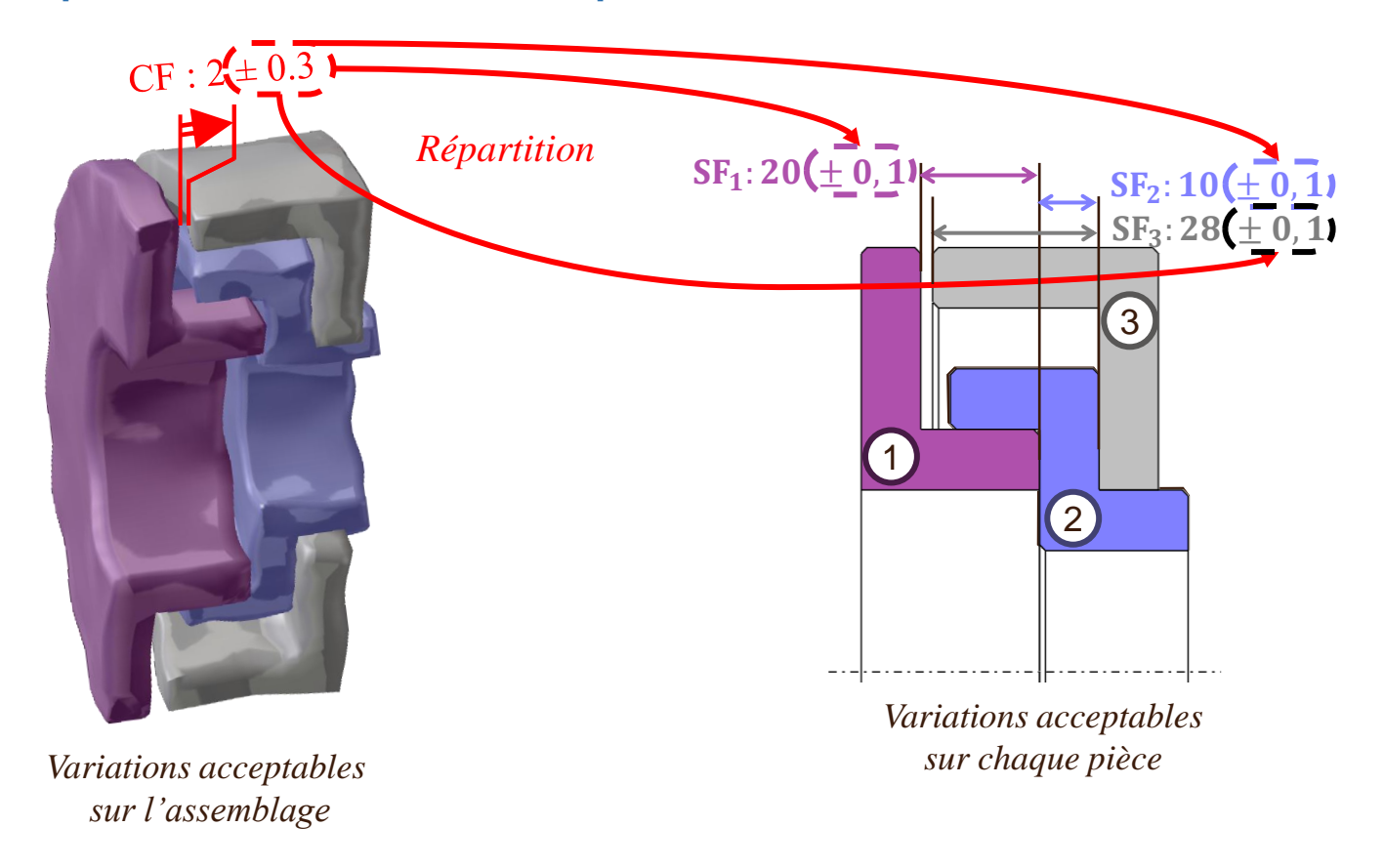


Géométrie nominale : idéale

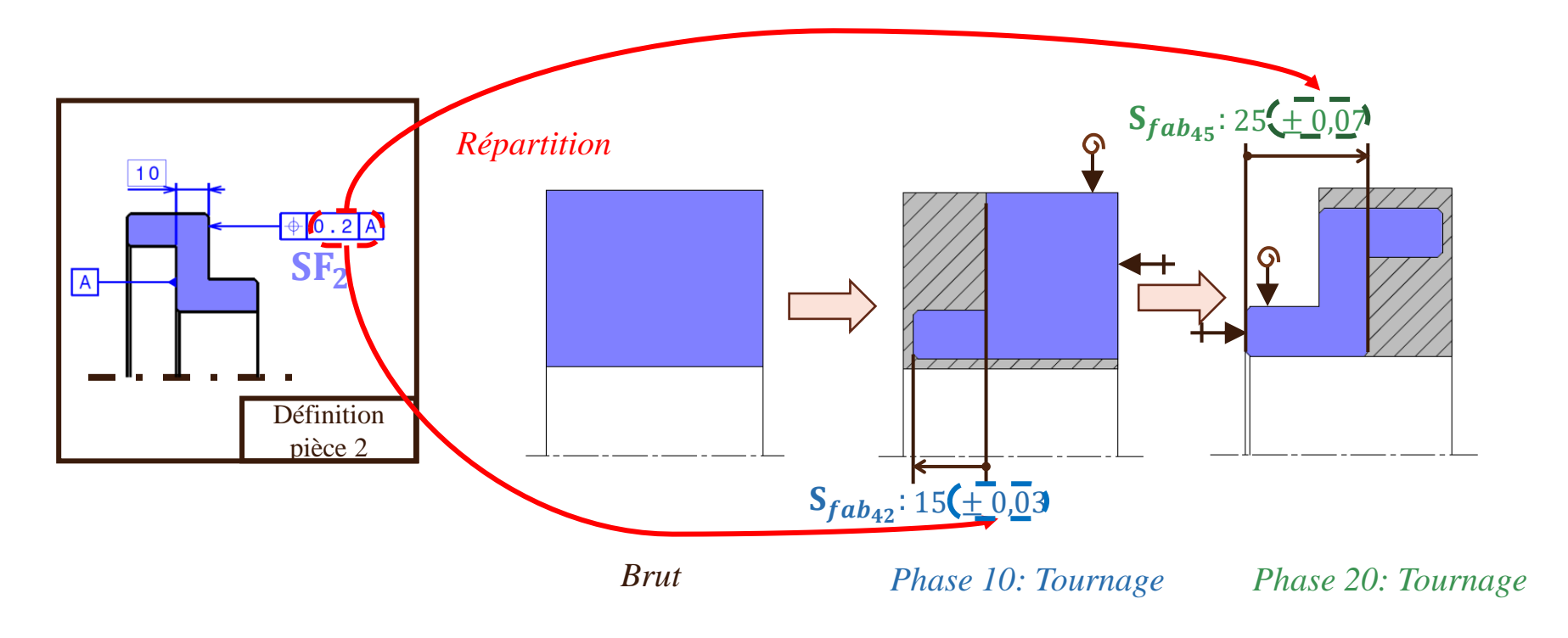


Produit réel : écarts **inévitables**

0.1 - Conception et Fabrication « Classiques »



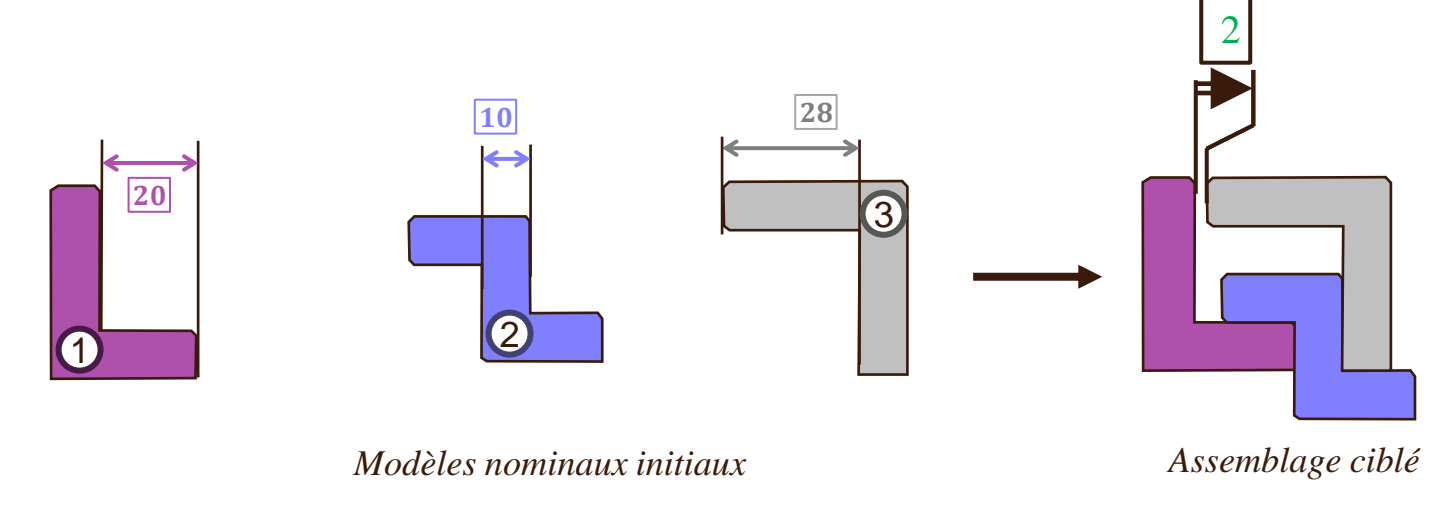
0.1 - Conception et Fabrication « Classiques »



0.2 - Conception et Fabrication Paramétrées

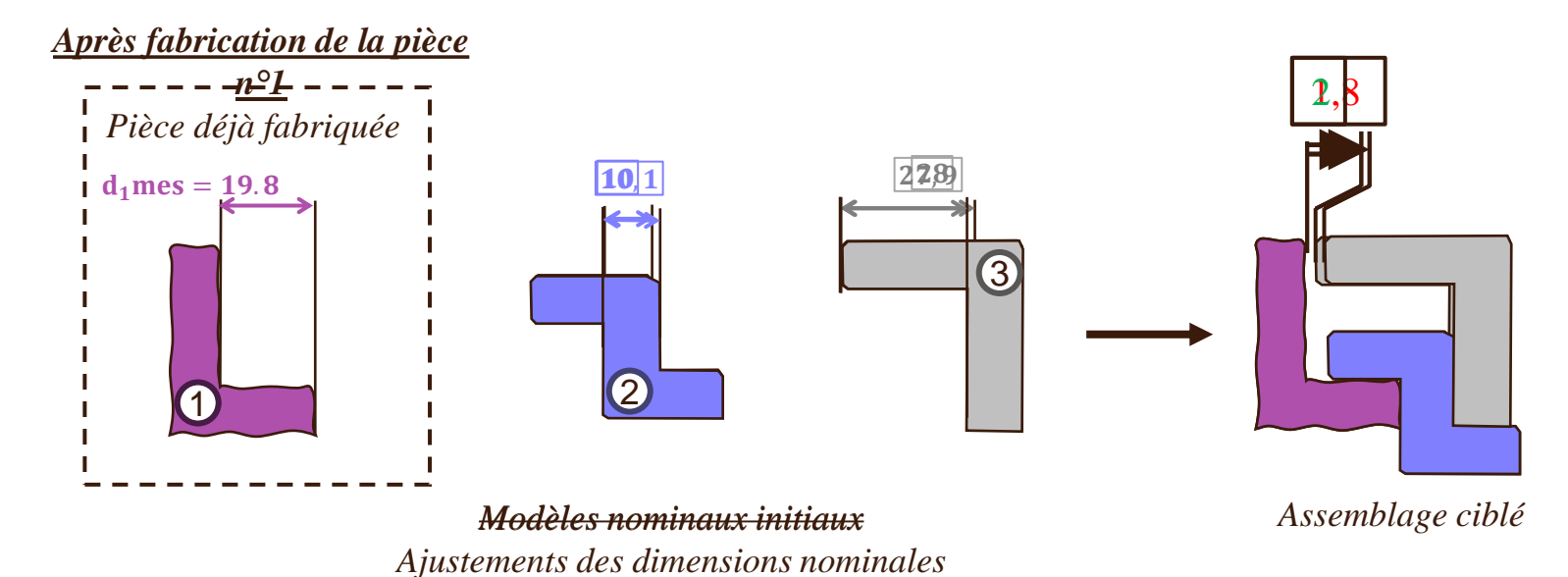
Conception Paramétrée

Avant fabrication

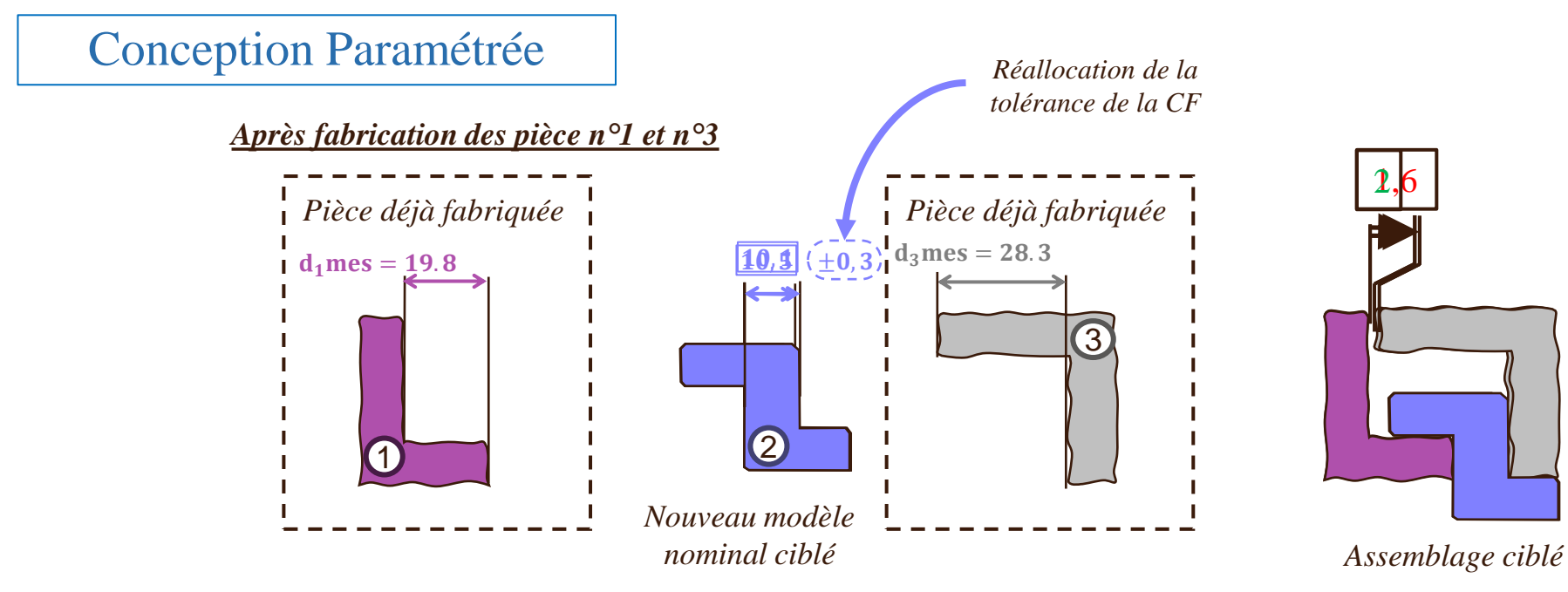


0.2 – Conception et Fabrication Paramétrées

Conception Paramétrée

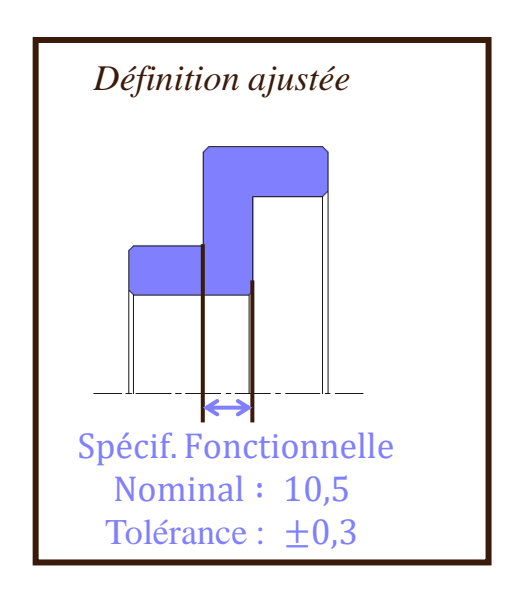


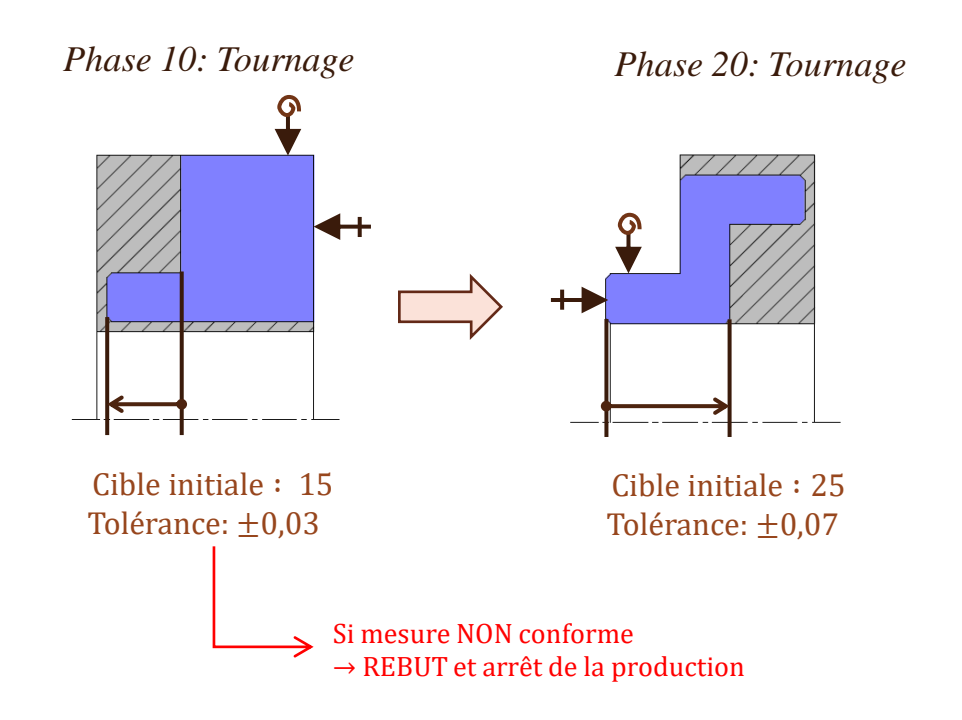
0.2 – Conception et Fabrication Paramétrées



0.2 - Conception et Fabrication Paramétrées

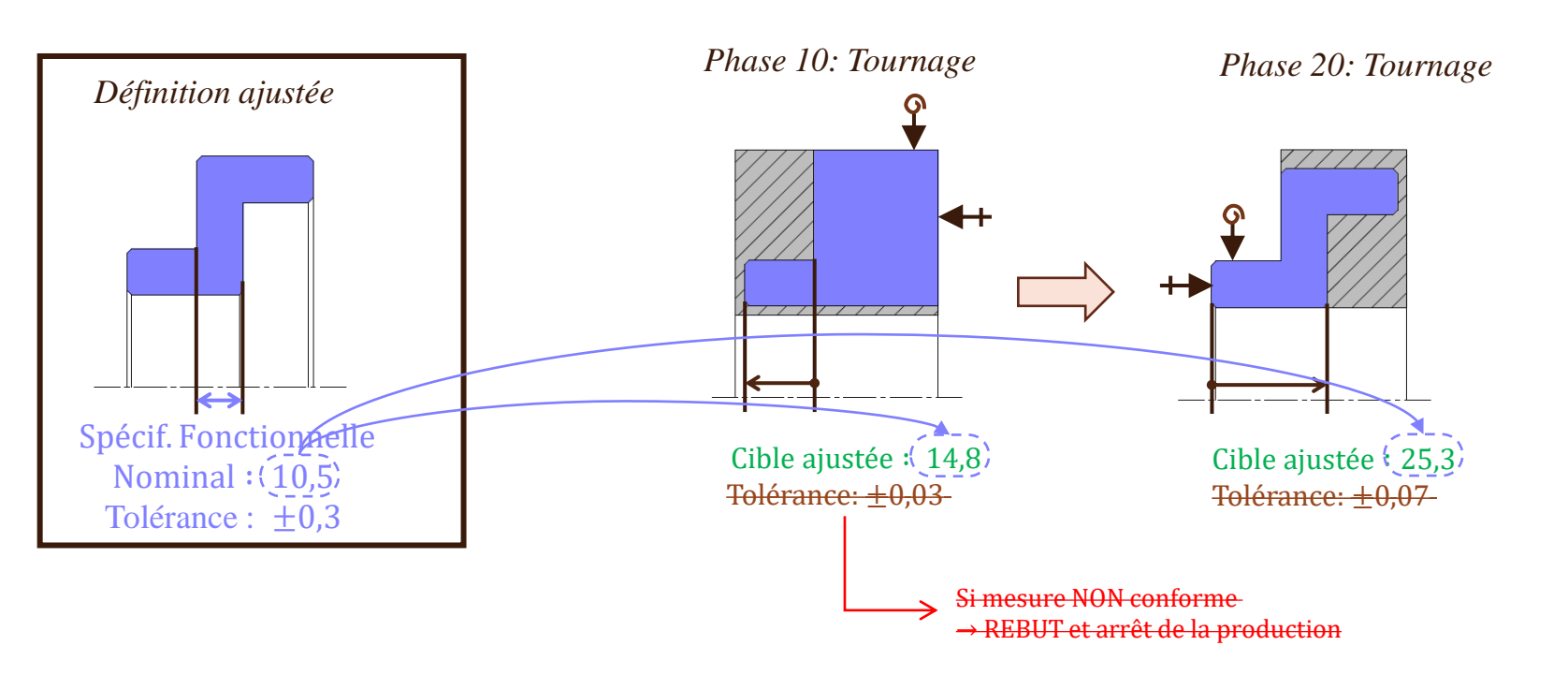
Fabrication Paramétrée





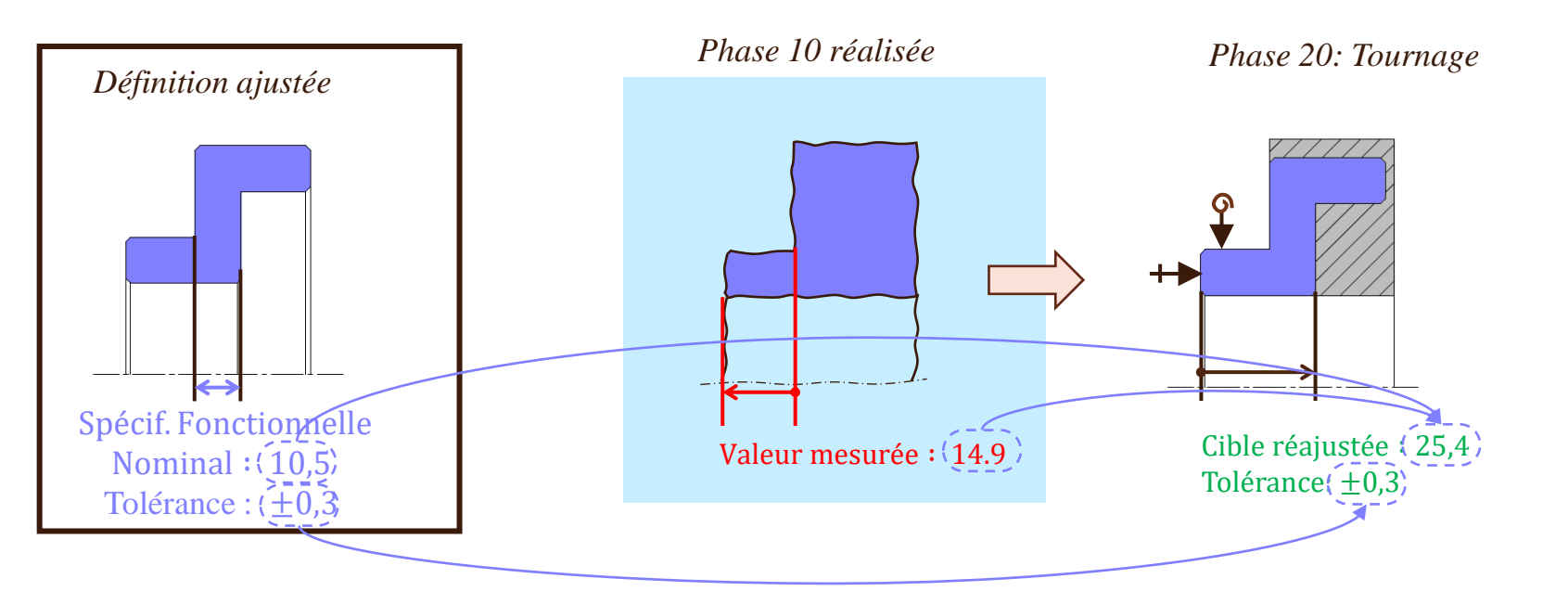
0.2 – Conception et Fabrication Paramétrées

Fabrication Paramétrée



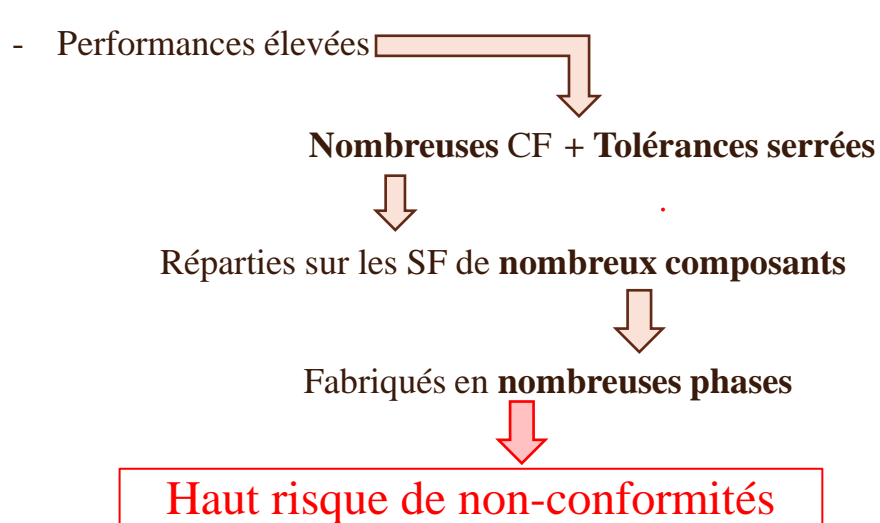
0.2 - Conception et Fabrication Paramétrées

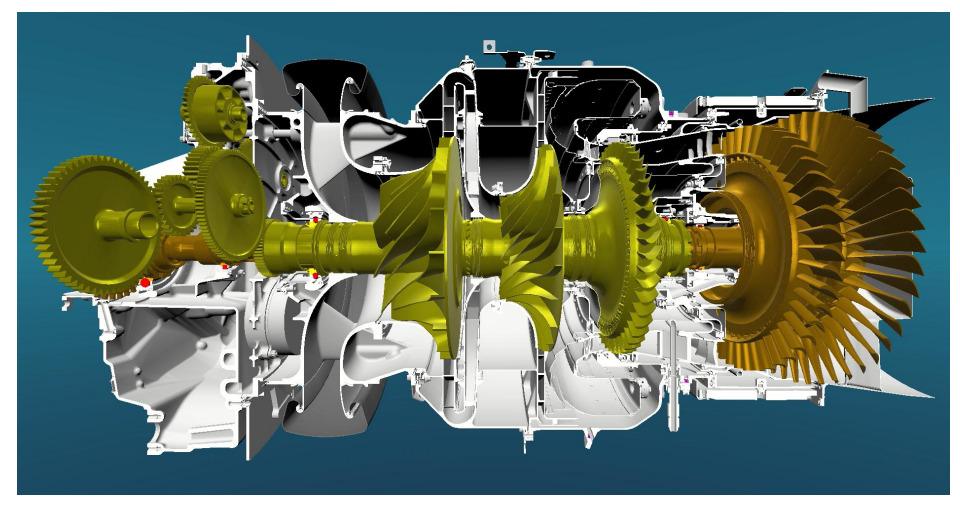
Fabrication Paramétrée



Production à Safran Helicopter Engines

- Sous-ensembles à très haute valeur ajoutée
- Production de faible volume

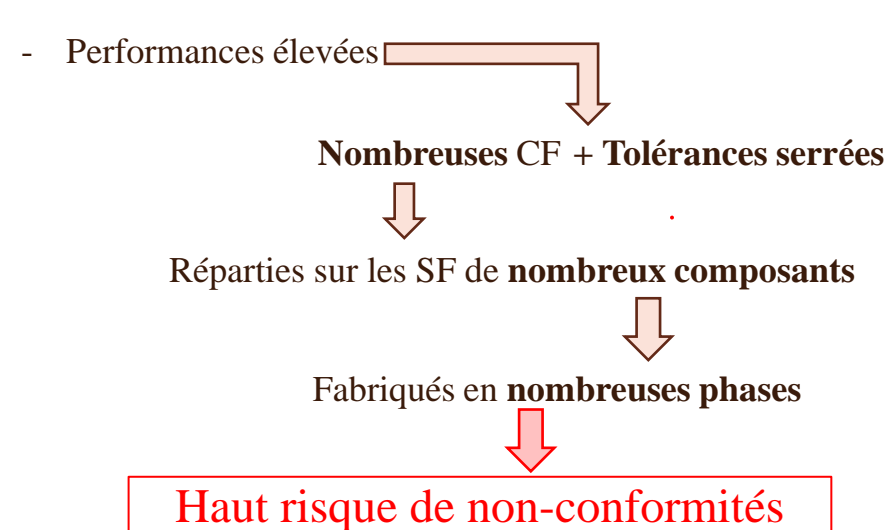


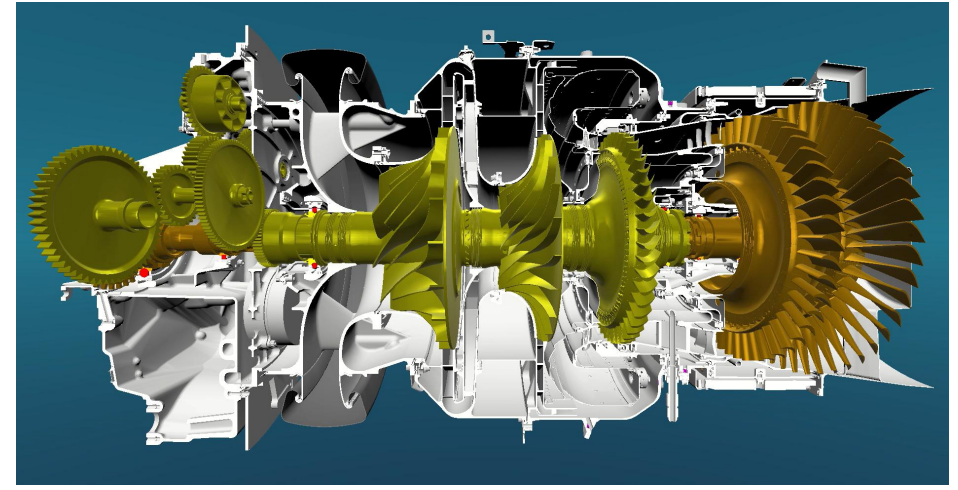


Turbomoteur - ARDIDEN 3

Production à Safran Helicopter Engines

- Sous-ensembles à très haute valeur ajoutée
- Production de faible volume



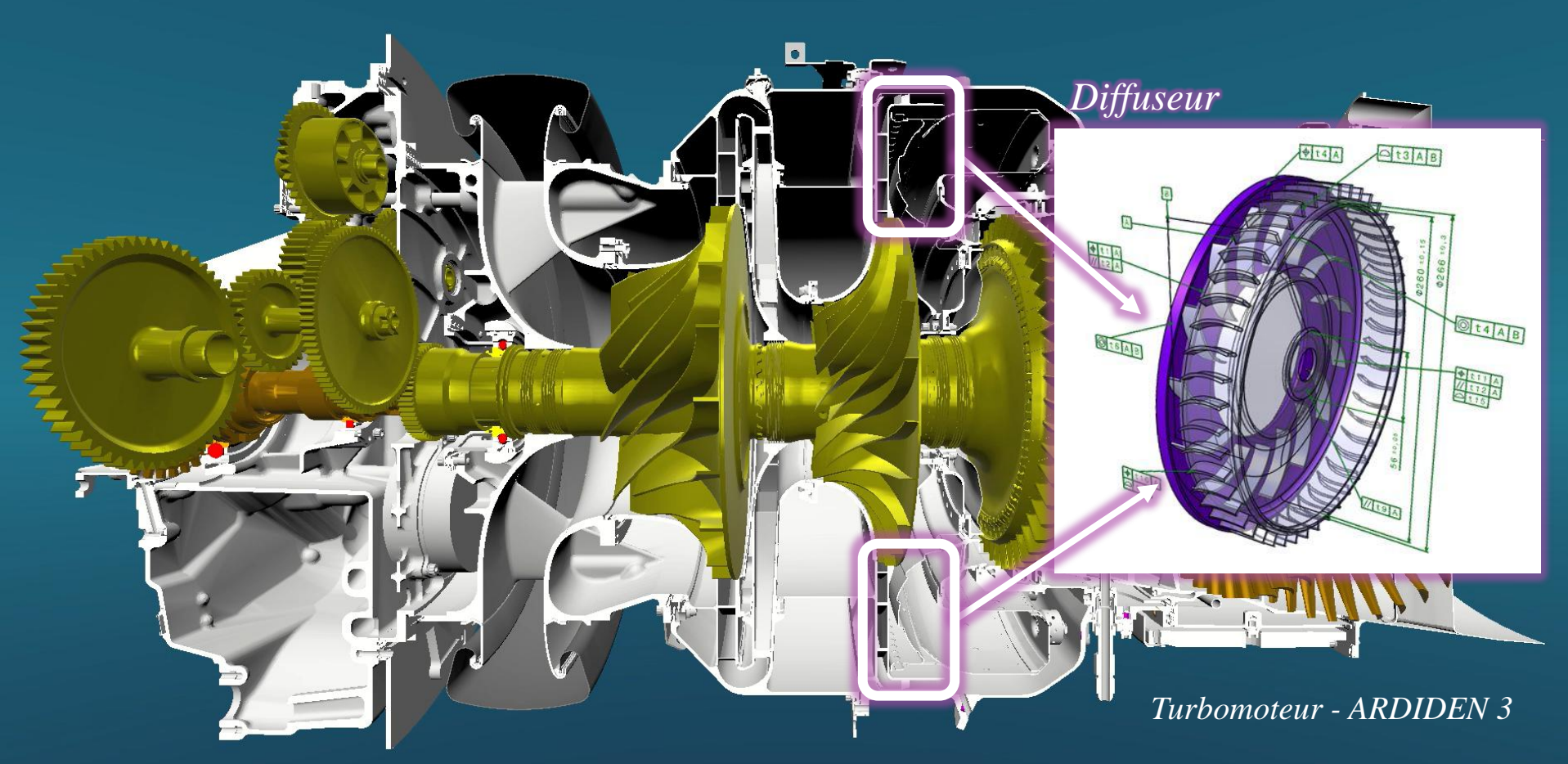


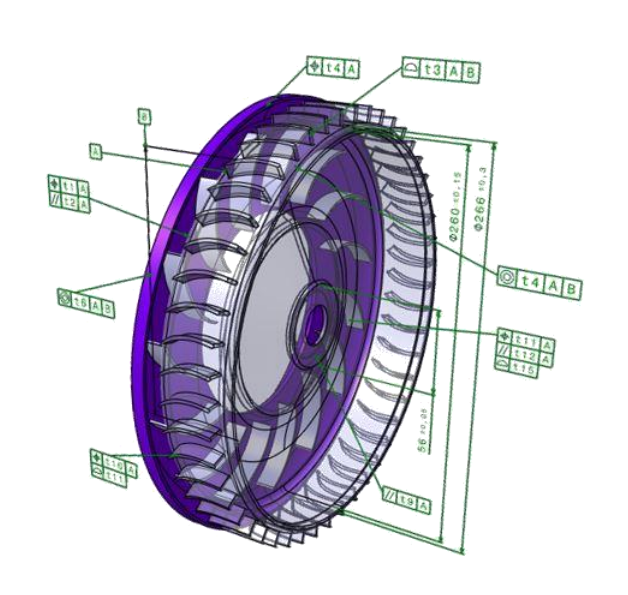
Turbomoteur - ARDIDEN 3

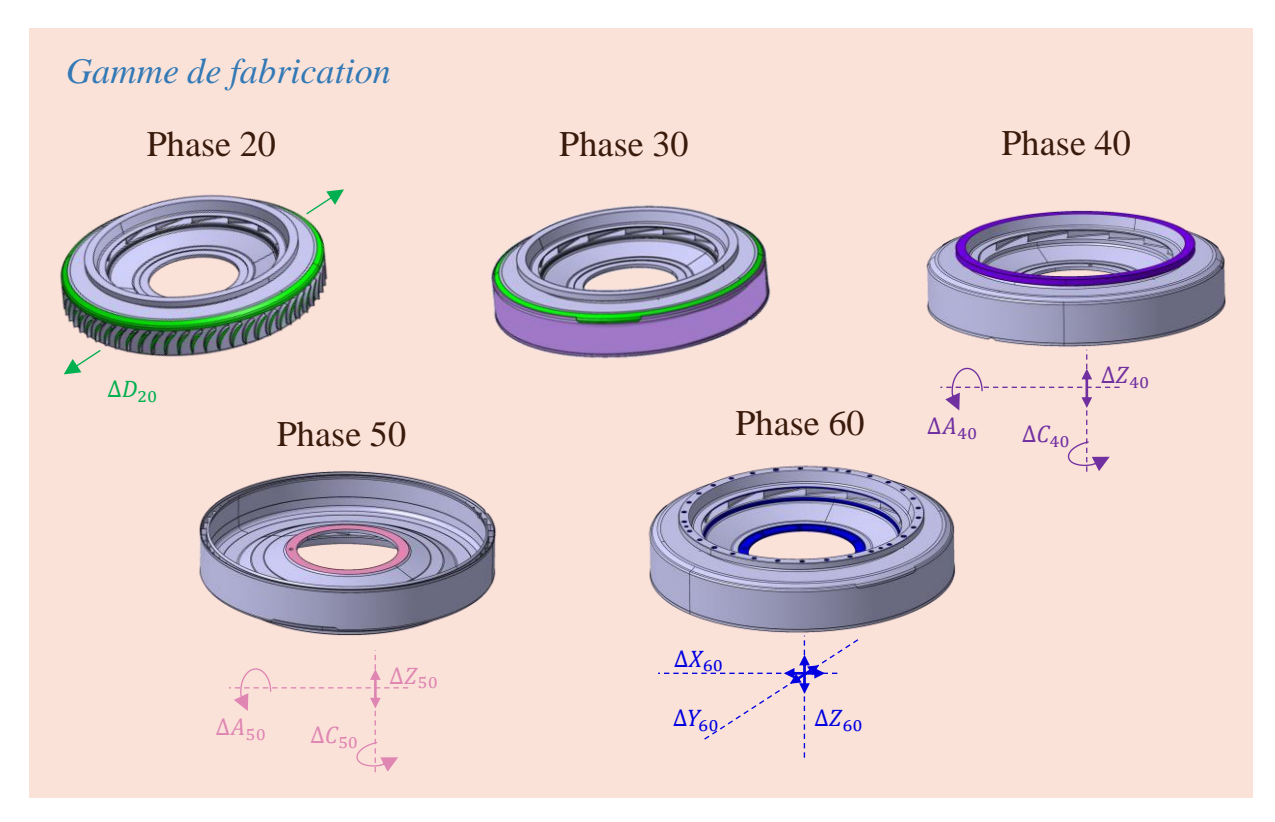
<u>La CFP * est un levier pour :</u>

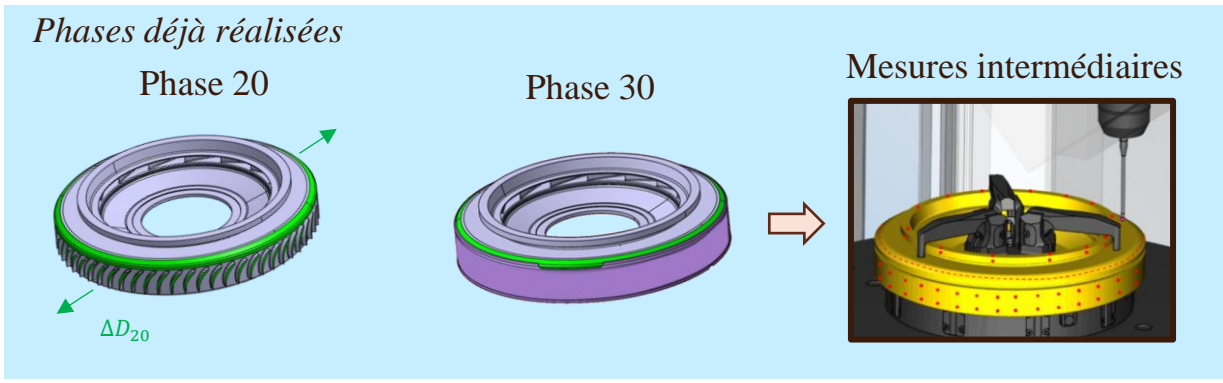
- \(\scriptormal{composants} \) composants non-conformes : réduction des coûts
- / les performances : compétitivité

(*) Conception et Fabrication Paramétrées











Ombre numérique avant Phase 40



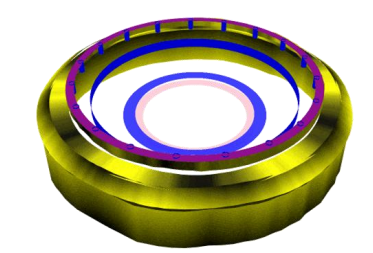




Jumeau numérique avant Phase 40

- Surfaces mesurées avant OP180
- Cible OP180
- Cible OP184
- Cible OP188

- $\Delta Z180 = 0.0$ mm, $\Delta A180 = 0.0$ °, $\Delta C180 = 0$ ° $\Delta Z184 = 0.0$ mm, $\Delta A184 = 0.0$ °, $\Delta C184 = 0$ °
- $\Delta X188 = 0.0$ mm, $\Delta Y188 = 0.0$ °, $\Delta Z188 = 0.0$ °



 ΔY_{60}

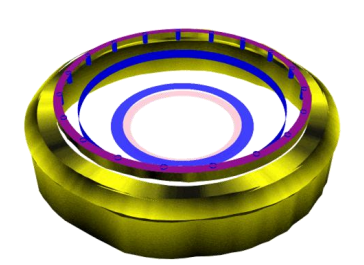
 ΔZ_{60}

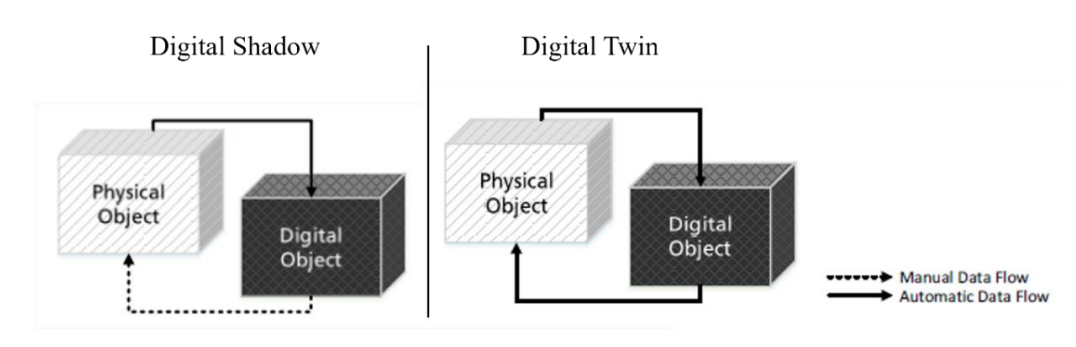
Ombre numérique avant Phase 40



Jumeau numérique avant Phase 40

- Surfaces mesurées avant OP180
- ≤ Cible OP180
- Cible OP184
- $\Delta Z180 = 0.0$ mm, $\Delta A180 = 0.0$ °, $\Delta C180 = 0$ ° ≤ Cible OP188 $\Delta X188 = 0.0$ mm, $\Delta Y188 = 0.0$ °, $\Delta Z188 = 0.0$ °





Kritzinger et al. 2018 [1]

lacktriangle

Interdépendance SF / paramètres Δ ajustés

Surfaces mesurées avant OP180

Cible OP180 Cible OP184

Cible OP188

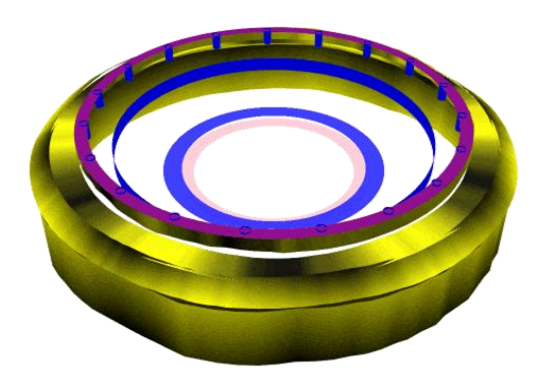
 Δ Z180 = 0.0mm, Δ A180 = 0.0°, Δ C180 = 0°

 $\Delta Z 184 = 0.0$ mm, $\Delta A 184 = 0.0$ °, $\Delta C 184 = 0$ °

 $\Delta X188 = 0.0$ mm, $\Delta Y188 = 0.0$ °, $\Delta Z188 = 0.0$ °



Détermination automatique des Δ optimaux ?





Prise en compte écarts autours des consignes





Quelles mesures intermédiaires ? Quand ?



Conclusions, perspectives au-delà 2030 ?

Les variations 3d sont rentrées dans les problématiques du tolérancement.

La chaîne numérique depuis l'analyse fonctionnelle jusqu'à la métrologie reste très discontinue.

La prise en compte des écarts de forme ajoute beaucoup de complexité dans la gestion des contacts.

Peu de solution pour gérer les architectures hyperstatiques.

L'intégration du comportement multiphysique d'un système reste un challenge.

Le décloisonnement entre les modèles de comportement géométrique et mécanique est encore à ses prémices.

Les machines connectées permettent d'ajuster les gammes de fabrication.

L'appairage numérique pourrait remplacer l'appairage physique.